

УДК 532.517.4

DOI: 10.15372/PMTF202215176

ВЛИЯНИЕ ВНЕШНЕГО ТАНГЕНЦИАЛЬНОГО ЭЛЕКТРИЧЕСКОГО ПОЛЯ НА РАЗВИТИЕ КАПИЛЛЯРНОЙ ТУРБУЛЕНТНОСТИ СВОБОДНОЙ ПОВЕРХНОСТИ НЕПРОВОДЯЩЕЙ ЖИДКОСТИ

Н. М. Зубарев^{*,**}, Е. А. Кочурин^{*,***}

* Институт электрофизики УрО РАН, Екатеринбург, Россия

** Физический институт им. П. Н. Лебедева РАН, Москва, Россия

*** Сколковский институт науки и технологий, Москва, Россия

E-mails: nick@ier.uran.ru, kochurin@ier.uran.ru

Выполнено трехмерное прямое численное моделирование хаотической динамики свободной поверхности диэлектрической жидкости, находящейся во внешнем тангенциальном электрическом поле. В физической модели учитывается влияние энергетической накачки (внешнего воздействия), диссипации энергии (вязкости) и поверхностного натяжения. Показано, что при увеличении напряженности внешнего поля наблюдается переход от турбулентности дисперсионных капиллярных волн (при нулевом поле) к анизотропной электрогидродинамической волновой турбулентности. В предельном случае сильного поля, когда движение жидкости становится существенно анизотропным, формируется каскад мелкомасштабных капиллярных волн, распространяющихся перпендикулярно внешнему полю. В этом режиме движения реализуется новый спектр турбулентности, отличающийся от классического спектра капиллярной турбулентности.

Ключевые слова: нелинейные волны, волновая турбулентность, электрическое поле, свободная поверхность, электрогидродинамика

Введение. Известно, что в результате резонансных волновых взаимодействий нелинейные волновые системы могут переходить в состояние квазистационарного хаотического движения (волновая турбулентность) [1, 2]. Статистические свойства таких систем изучает слабонелинейная теория (или теория слабой турбулентности), в рамках которой получено аналитическое решение кинетических уравнений, описывающих нелинейное взаимодействие волн [1–3]. Эти решения, известные как спектры Колмогорова — Захарова, описывают стационарную перекачку энергии в волны малых или больших масштабов (прямой или обратный каскад соответственно). В настоящее время одним из наиболее изученных видов волновой турбулентности является турбулентность капиллярных волн на свободной поверхности жидкости, впервые теоретически описанная в работе [4].

Спектр Колмогорова — Захарова (известный также как спектр Захарова — Филоненко) для капиллярной турбулентности на поверхности жидкости можно представить в виде

$$S(\mathbf{k}) = C_{KZ} P^{1/2} (\sigma/\rho)^{-3/4} k^{-19/4}, \quad k = |\mathbf{k}|, \quad (1)$$

где $S(\mathbf{k}) = |\eta_{\mathbf{k}}|^2$ — пространственный фурье-спектр для формы поверхности жидкости $\eta(x, y)$; $\mathbf{k} = \{k_x, k_y\}$ — волновой вектор; C_{KZ} — постоянная Колмогорова — Захарова;

P — скорость потока диссипации энергии на единицу площади поверхности; σ , ρ — поверхностное натяжение и массовая плотность жидкости соответственно. Заметим, что спектры Колмогорова — Захарова можно получить с использованием теории размерностей, т. е. аналогично тому, как получен спектр Колмогорова — Обухова для случая классической гидродинамической турбулентности [1, 2]. Спектры Колмогорова — Захарова для капиллярных и гравитационных поверхностных волн с высокой точностью подтверждены экспериментально [5–7] и численно [8–11].

В настоящее время наименее изученным видом турбулентности поверхностных волн остается электро- или магнитогиродинамическая (ЭГД или МГД соответственно) волновая турбулентность, возникающая при воздействии внешнего электрического (или магнитного) поля. Поверхностная волновая МГД-турбулентность впервые обнаружена экспериментально на границе жидкости, находящейся под воздействием магнитного поля, в работах [12, 13], в которых показано, что спектр турбулентности отклоняется от спектра (1) с увеличением напряженности внешнего магнитного поля. До настоящего времени полного теоретического объяснения этого явления не существовало. Ранее волновые ЭГД- и МГД-турбулентности численно исследовались только в одномерной плоскосимметричной постановке [14–17], что не позволяло непосредственно сравнивать полученные результаты с аналитическим спектром (1), полученным для изотропного трехмерного движения жидкости.

Целью настоящей работы является прямое численное моделирование турбулентности поверхностных ЭГД-волн в полной трехмерной постановке.

Вычислительная модель. Рассмотрим потенциальное течение идеальной несжимаемой диэлектрической жидкости бесконечной глубины со свободной поверхностью в однородном горизонтальном внешнем электрическом поле. Введем декартову систему координат с радиус-вектором $\mathbf{r} = \{x, y, z\}$. Равенство $z = 0$ соответствует невозмущенной форме границы, а уравнение $z = \eta(x, y, t)$ описывает форму поверхности жидкости. Пусть вектор напряженности электрического поля направлен вдоль оси x и по абсолютному значению равен E . Потенциал скорости жидкости $\Phi(\mathbf{r})$ удовлетворяет уравнению Лапласа $\Delta\Phi = 0$ в области $z < \eta$. Будем рассматривать случай диэлектрической жидкости (свободные заряды в жидкости отсутствуют), т. е. напряженность электрического поля $\mathbf{E}_{1,2}(\mathbf{r})$ описывается потенциалами электрического поля $\mathbf{E}_{1,2} = -\nabla\varphi_{1,2}$ (индексы 1 и 2 соответствуют областям внутри жидкости ($z < \eta$) и над ее свободной границей ($z > \eta$)). Потенциалы электрического поля удовлетворяют уравнениям Лапласа $\Delta\varphi_{1,2} = 0$. Граничные условия для уравнений Максвелла в терминах потенциалов электрического поля задаются на свободной поверхности $z = \eta(x, y, t)$ в виде

$$\varphi_1 = \varphi_2, \quad \varepsilon \partial_n \varphi_1 = \partial_n \varphi_2,$$

где ε — относительная диэлектрическая проницаемость жидкости; ∂_n — производная по нормали к свободной поверхности. На расстоянии от границы жидкости $z \rightarrow \mp\infty$ электрическое поле становится однородным: $\varphi_{1,2} = -Ex$. Эволюция системы описывается кинематическим и динамическим граничными условиями

$$\begin{aligned} z = \eta(x, y, t): \quad \eta_t &= \Phi_z - \nabla_{\perp} \eta \cdot \nabla_{\perp} \Phi, \\ \Phi_t + \frac{(\nabla\Phi)^2}{2} &= -g\eta + \sigma \nabla_{\perp} \cdot \frac{\nabla_{\perp} \eta}{\sqrt{1 + (\nabla_{\perp} \eta)^2}} + \frac{\varepsilon_0(\varepsilon - 1)}{2\rho} (\nabla\varphi_1 \cdot \nabla\varphi_2 - E^2), \end{aligned} \quad (2)$$

где g — ускорение свободного падения; ε_0 — электрическая постоянная; $\nabla = \{\partial_x, \partial_y, \partial_z\}$, $\nabla_{\perp} = \{\partial_x, \partial_y\}$ — дифференциальные операторы. Уравнения (2) представляют собой замкнутую систему, описывающую сильнонелинейную динамику свободной поверхности диэлектрической жидкости во внешнем горизонтальном электрическом поле с учетом силы

тяжести и поверхностного натяжения в полной трехмерной постановке. Выражение для полной энергии системы (гамильтониан) записывается в виде

$$H = \frac{1}{2} \int_{z \leq \eta} (\nabla \Phi)^2 d\mathbf{r} - \frac{\varepsilon_0 \varepsilon}{2} \int_{z \leq \eta} ((\nabla \varphi_1)^2 - E^2) d\mathbf{r} - \frac{\varepsilon_0}{2} \int_{z \geq \eta} ((\nabla \varphi_2)^2 - E^2) d\mathbf{r} + \int \left[\frac{g\eta^2}{2} + \frac{\sigma}{\rho} (\sqrt{1 + \nabla_{\perp} \eta} - 1) \right] dx dy. \quad (3)$$

Закон дисперсии для линейных волн на границе диэлектрической жидкости, находящейся во внешнем горизонтальном электрическом поле, имеет вид [18]

$$\omega^2(\mathbf{k}) = gk + \frac{\gamma(\varepsilon)}{\rho} E^2 k_x^2 + \frac{\sigma}{\rho} k^3 \quad (4)$$

(ω — частота; $\gamma(\varepsilon) = (\varepsilon - 1)^2 / [\varepsilon_0(\varepsilon + 1)]$ — вспомогательный коэффициент). В отсутствие внешнего поля дисперсионное соотношение (4) описывает распространение поверхностных гравитационно-капиллярных волн, минимальная фазовая скорость которых достигается при длине волны $\lambda_0 = 2\pi(\sigma/g\rho)^{1/2}$ и волновом периоде $t_0 = 2\pi(\sigma/(g^3\rho))^{1/4}$. Эти значения удобно использовать в качестве характерных длины и времени, а безразмерные единицы ввести как $\tilde{t} = t/t_0$ и $\tilde{\mathbf{r}} = \mathbf{r}/\lambda_0$ (далее знак “ \sim ” опускается). Дисперсионное соотношение (4) можно записать в безразмерном виде

$$\omega^2(\mathbf{k}) = k + V_A^2 k_x^2 + k^3,$$

где величина $V_A^2 = \gamma E^2 / (g\rho\sigma)^{1/2}$ имеет смысл скорости электрогидродинамической поверхностной волны, распространяющейся вдоль внешнего электрического поля. Далее первым слагаемым в правой части закона дисперсии пренебрегается, что соответствует случаю длин волн $k \gg 1$.

В слабонелинейном приближении полная система уравнений электрогидродинамики может быть сведена к двум уравнениям, описывающим динамику непосредственно границы. (Процедура вывода таких уравнений представлена в работах [19–21].) Уравнения движения границы жидкости можно получить с помощью вариационного дифференцирования гамильтониана:

$$\frac{\partial \eta}{\partial t} = \frac{\delta H}{\delta \psi}, \quad \frac{\partial \psi}{\partial t} = -\frac{\delta H}{\delta \eta}, \quad (5)$$

где величины $\eta(x, y, t)$ и $\psi(x, y, t) = \Phi(x, y, z = \eta, t)$ являются каноническими переменными. Гамильтониан системы (3) с учетом кубически нелинейных слагаемых в подынтегральном выражении имеет вид

$$H = \frac{1}{2} \iint [(\nabla_{\perp} \eta)^2 + \psi \hat{k} \psi - \eta((\hat{k} \psi)^2 - (\nabla_{\perp} \psi)^2) + V_A^2 (\eta_x \hat{k}^{-1} \eta_x + A_E (\eta \eta_x^2 - \eta_x \hat{k}^{-1} \eta \hat{k} \eta_x + \eta_x \hat{k}^{-1} (\nabla_{\perp} \eta \cdot \nabla_{\perp} \hat{k}^{-1} \eta_x))] dx dy, \quad (6)$$

где $A_E = (\varepsilon - 1)/(\varepsilon + 1)$ — аналог числа Атвуда для электрического поля; \hat{k} — интегральный оператор, определенный в фурье-пространстве как $\hat{k} f_k = k f_k$; \hat{k}^{-1} — оператор, обратный \hat{k} . Для полного описания режима развитой волновой ЭГД-турбулентности свободной поверхности жидкости к уравнениям (5) необходимо добавить слагаемые, характеризующие внешнюю механическую силу (энергетическую накачку) и диссипацию энергии (вязкость). В результате система модельных уравнений движения границы жидкости принимает следующий вид:

$$\eta_t = \hat{k} \psi - \hat{k} (\eta \hat{k} \psi) - \nabla_{\perp} (\eta \nabla_{\perp} \psi) + \hat{D}_k \eta; \quad (7)$$

$$\begin{aligned} \psi_t = \nabla_{\perp}^2 \eta + \frac{1}{2} [(\hat{k}\psi)^2 - (\nabla_{\perp} \psi)^2] + V_A^2 \hat{k}^{-1} \eta_{xx} - \frac{A_E V_A^2}{2} [2\hat{k}^{-1} \partial_x (\eta \hat{k} \eta_x - \nabla_{\perp} \eta \cdot \nabla_{\perp} \hat{k}^{-1} \eta_x) - \\ - \eta_x^2 - 2\eta \eta_{xx} - (\nabla_{\perp} \hat{k}^{-1} \eta_x)^2] + \mathcal{F}(k, t) + \hat{D}_k \psi. \end{aligned} \quad (8)$$

Здесь \hat{D}_k — оператор, описывающий влияние вязкости и задаваемый как $\hat{D}_k f_k = -\nu(k - k_d)^2 f_k$ при $k \geq k_d$ и $\hat{D}_k = 0$ при $k < k_d$; ν — коэффициент, определяющий интенсивность диссипации энергии. Слагаемое $\mathcal{F}(k, t)$, характеризующее механическую накачку системы, задается в фурье-пространстве в виде

$$\mathcal{F}(k, t) = F(k) \exp[i\omega(k)t],$$

где $F(k) = F_0 \exp[-(k - k_0)^4/k_f]$; коэффициент F_0 определяет максимальную амплитуду накачки, которая достигается при длине волны $k = k_0$. Возмущения поверхности жидкости возбуждаются в диапазоне волновых чисел $1 \leq k \leq k_f$. В работах [19, 20] в предельном случае сильного поля при отсутствии диссипации и накачки энергии найдены точные аналитические решения системы уравнений (6), (7) в виде нелинейных поверхностных волн произвольной формы, распространяющихся в направлении электрического поля, т. е. аналогично альфвеновским волнам в идеально проводящей жидкости или плазме. Эти решения применимы для жидкости с высокой диэлектрической проницаемостью. При конечной проницаемости под действием горизонтального электрического поля может происходить коллапс поверхностных волн [22, 23]. Таким образом, для корректного моделирования волновой ЭГД-турбулентности на свободной поверхности жидкости необходимо учитывать регуляризирующее влияние вязкости и поверхностного натяжения.

Используемая в настоящей работе вычислительная модель основана на численном решении системы уравнений (7), (8). Пространственные производные и интегральные операторы вычисляются с помощью псевдоспектральных методов с полным числом фурье-гармоник $N \times N$. Численное интегрирование по времени проводится с использованием явного метода Рунге — Кутты четвертого порядка точности с шагом dt . Моделирование выполняется в периодической области размером $2\pi \times 2\pi$ при следующих значениях основных параметров: $N = 1024$, $dt = 5 \cdot 10^{-5}$, $F_0 = 2000$, $k_0 = 3$, $k_f = 6$, $k_d = 200$, $\nu = 10$. Все вычисления проводятся для диэлектрической жидкости с проницаемостью $\varepsilon = 3$, что соответствует $A_E = 0,5$.

Результаты моделирования. Представлены результаты трех серий расчетов нелинейной динамики свободной поверхности жидкости при значениях безразмерной напряженности электрического поля $V_A = 0; 5; 10$, выбранных с целью показать переход из режима капиллярной волновой турбулентности поверхности жидкости в режим электрогидродинамической турбулентности при увеличении напряженности поля. На рис. 1,а представлена зависимость полной энергии системы (6) от времени. Видно, что система достаточно быстро переходит к квазистационарному режиму движения, при котором влияние внешнего воздействия компенсируется вязкостью, а полная энергия системы осциллирует вблизи некоторого среднего значения. На рис. 1,б приведены функции плотности вероятности f (probability density functions (PDF)) для амплитуды границы жидкости, измеренные в квазистационарном состоянии. Из рис. 1,б следует, что распределения плотности вероятности становятся близкими к нормальному распределению (сплошная линия соответствует гауссовой форме зависимости). Это свидетельствует о реализации режима развитой волновой турбулентности на поверхности жидкости.

На рис. 2 показаны форма границы $\eta(x, y)$ и распределение потенциальной энергии $U(x, y)$ на поверхности жидкости в квазистационарном режиме движения при различных значениях напряженности электрического поля. Видно, что движение жидкости имеет сложный хаотический характер. В отсутствие поля движение жидкости является

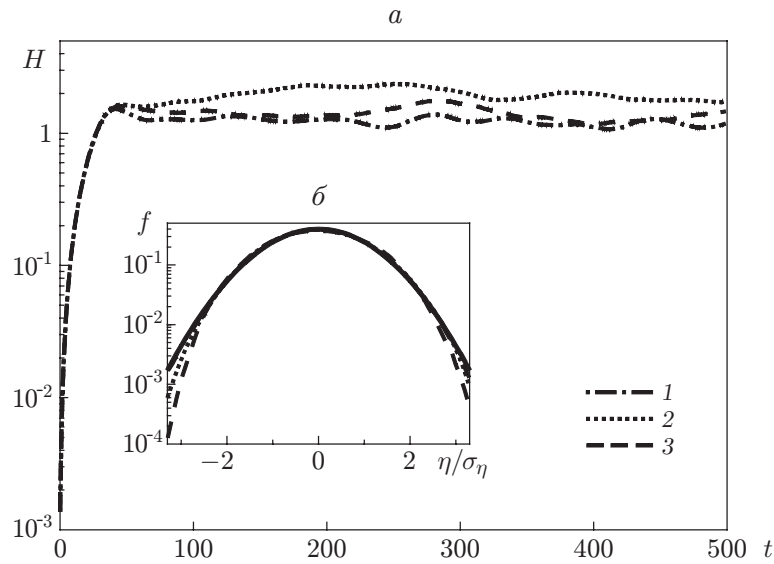


Рис. 1. Зависимости полной энергии системы от времени (а) и функции плотности вероятности f от относительной амплитуды поверхности (б) при различных значениях напряженности внешнего электрического поля:
 1 — $V_A = 0$, 2 — $V_A = 5$, 3 — $V_A = 10$; сплошная линия — гауссова форма зависимости

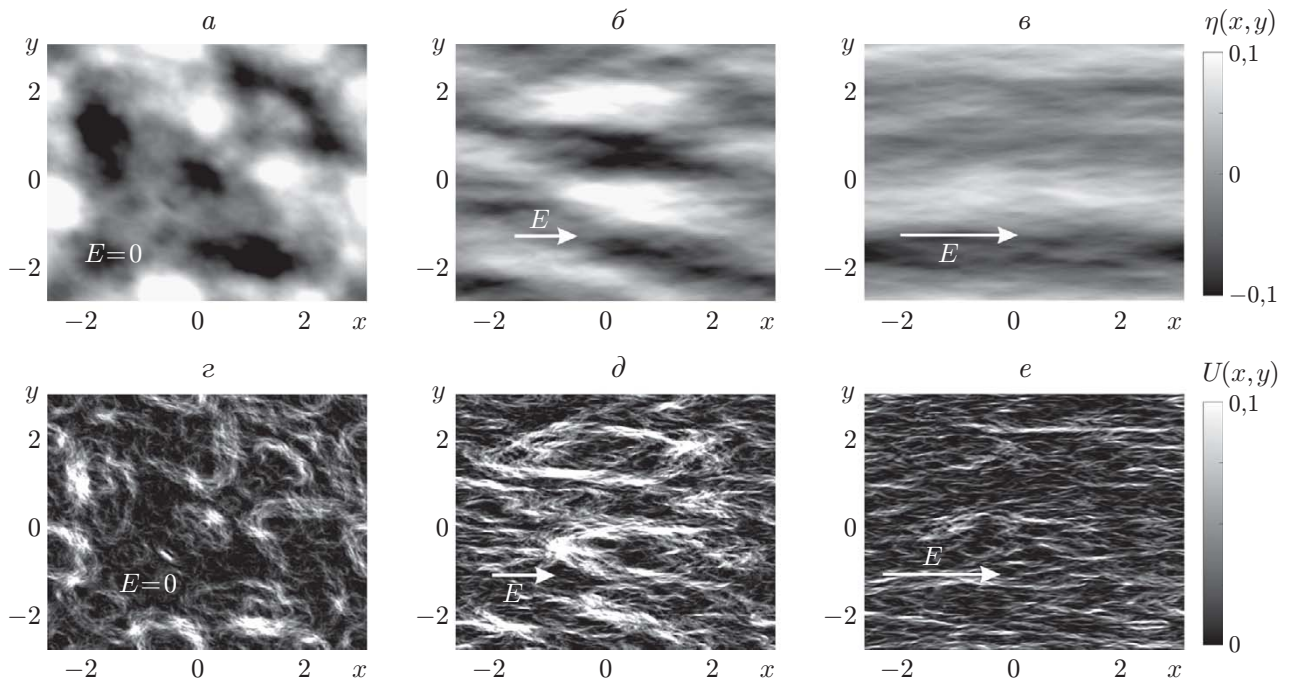


Рис. 2. Формы поверхности жидкости (а-в) и распределения потенциальной энергии на границе жидкости (z-e) в некоторые моменты времени квазистационарного движения при различных значениях безразмерной напряженности электрического поля:
 а, z — $V_A = 0$, б, д — $V_A = 5$, в, е — $V_A = 10$

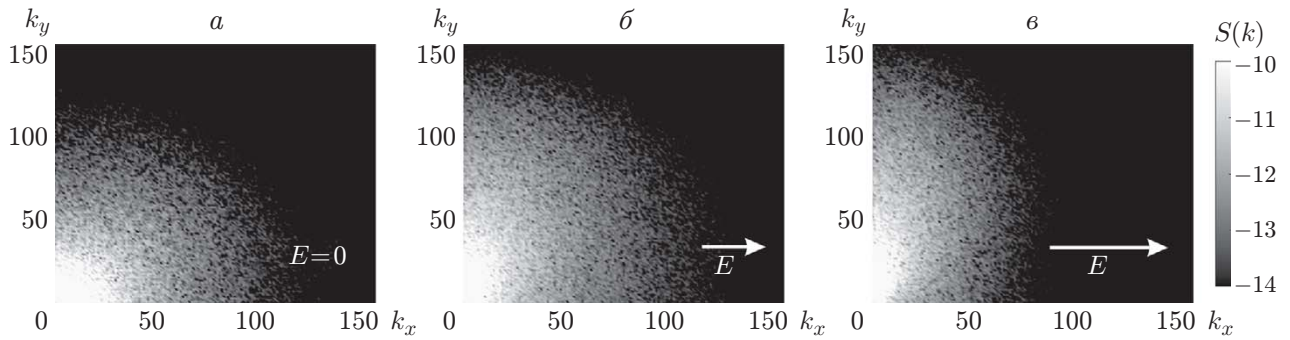


Рис. 3. Фурье-спектры профиля поверхности жидкости $\log(|\eta(k_x, k_y)|)$ в квази-стационарном состоянии при различных значениях безразмерной напряженности электрического поля:

a — $V_A = 0$, *б* — $V_A = 5$, *в* — $V_A = 10$

изотропным (см. рис. 2, *a, з*). По мере увеличения напряженности поля движение границы становится анизотропным: поверхностные волны распространяются преимущественно в направлении оси y , т. е. перпендикулярно внешнему полю. В случае максимальной напряженности поля профиль поверхности становится сильно анизотропным и в направлении оси y формируются резкие скачки плотности потенциальной энергии (см. рис. 2, *в, е*). Об анизотропном характере движения жидкости свидетельствуют также фурье-образы функции $\eta(x, y)$, представленные на рис. 3 (показана область с положительными волновыми числами). При отсутствии внешнего электрического поля ($E = 0$) распределение фурье-гармоник является полностью изотропным. При увеличении напряженности амплитуды волн, распространяющихся вдоль оси x , уменьшаются. Амплитуды волн, распространяющихся перпендикулярно внешнему полю, наоборот, увеличиваются. Таким образом, при включении внешнего горизонтального электрического поля происходят стабилизация возмущений, распространяющихся вдоль поля, и генерация мелкомасштабных капиллярных волн, распространяющихся перпендикулярно внешнему полю.

Далее рассмотрим один из главных вопросов: согласуются ли результаты настоящей работы с результатами исследований, в которых в отсутствие поля получен аналитический спектр Захарова — Филоненко. Для этого на рис. 4 построены спектры поверхности, осредненные относительно фазового угла в фурье-пространстве. Видно, что в отсутствие электрического поля вычисленный спектр турбулентности хорошо согласуется со спектром (1). Для промежуточного значения напряженности электрического поля $V_A = 5$ спектр поверхностных возмущений близок к спектру (1). В случае максимальной напряженности поля $V_A = 10$ спектр поверхности не совпадает со спектром Захарова — Филоненко (1), полученным для сугубо капиллярной турбулентности. В этом режиме зависимость поверхностных возмущений от волнового числа хорошо согласуется с зависимостью $S(\mathbf{k}) \sim k^{-4}$. Заметим, что такой спектр турбулентности формируется за счет мелкомасштабных капиллярных волн, распространяющихся перпендикулярно направлению электрического поля, т. е. $k \sim k_y$. Таким образом, система переходит в квазиодномерный режим движения, при котором волны распространяются преимущественно вдоль оси y . Заметим также, что наблюдаемый спектр $S(\mathbf{k}) \sim k_y^{-4}$ не совпадает со спектром одномерной плоскосимметричной капиллярной турбулентности, в котором преобладают волновые резонансы более высокого порядка [24, 25].

Спектр турбулентности, наблюдаемый в режиме сильного поля, можно рассматривать в качестве спектра поверхностной ЭГД-турбулентности. Аналогичный спектр формируется в случае анизотропной МГД-турбулентности альфвеновских волн, наблюдаемой

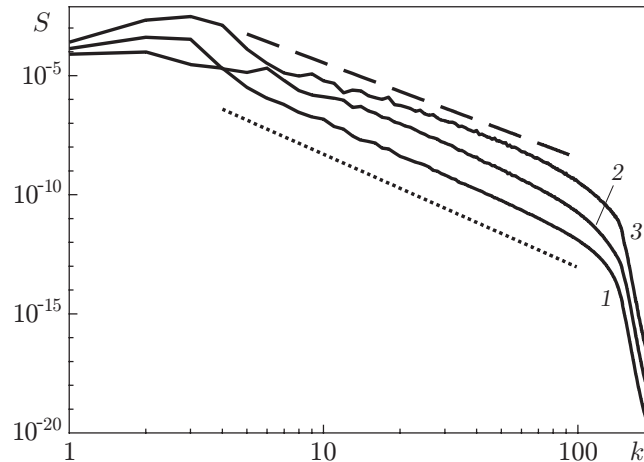


Рис. 4. Спектр функции $\eta(x, y)$, осредненный относительно фазового угла в фурье-пространстве, при различных значениях напряженности электрического поля: 1 — $V_A = 0$, 2 — $V_A = 5$, 3 — $V_A = 10$; пунктирная линия — зависимость (1), штриховая — зависимость $S(\mathbf{k}) \sim k^{-4}$

в идеально проводящей жидкости или плазме [26, 27]. Используя подход, основанный на анализе размерностей спектров слабой турбулентности [1, 2], можно получить оценку для спектра электрогидродинамической турбулентности на свободной поверхности жидкости:

$$S(\mathbf{k}) = C_E P^{1/2} V_A k^{-4} \approx C_E P^{1/2} V_A k_y^{-4}, \quad |k| \approx k_y \quad (9)$$

(C_E — безразмерная постоянная). В работах [5–8, 12, 13] для спектра поверхностных возмущений используется определение

$$S(k) = \iint S(\mathbf{k}) dk d\theta \approx S(k_y) = C_E P^{1/2} V_A k_y^{-3}$$

(θ — фазовый угол в фурье-пространстве). Спектр (9) является анизотропным. Такая анизотропия возникает вследствие перекачки энергии в направлении, перпендикулярном направлению внешнего поля. Таким образом, спектр (9), полученный в рамках теории размерностей, хорошо согласуется с результатами моделирования как качественно, так и количественно (см. рис. 3, 4).

Заключение. В работе проведено трехмерное прямое численное моделирование хаотической динамики свободной поверхности диэлектрической жидкости, находящейся во внешнем горизонтальном электрическом поле. Результаты моделирования достаточно точно воспроизводят спектр турбулентности Колмогорова — Захарова (Захарова — Филоненко) для капиллярных волн в отсутствие внешнего поля. В сильном электрическом поле движение жидкости становится анизотропным: наибольший вклад в спектр турбулентности вносят мелкомасштабные капиллярные волны, распространяющиеся перпендикулярно направлению действия поля. Иными словами, внешнее электрическое поле препятствует росту амплитуды возмущений поверхности, распространяющихся вдоль его направления. Спектр турбулентности поверхности жидкости в режиме сильного поля отличается от классического спектра Захарова — Филоненко, полученного для случая капиллярной волновой турбулентности, и близок к спектру МГД-турбулентности альфвеновских волн, наблюдаемому в идеально проводящей жидкости или плазме. Результаты исследования механизма генерации мелкомасштабных поверхностных волн могут быть использованы для создания новых материалов с заданными микрорельефом поверхности и степенью шероховатости.

ЛИТЕРАТУРА

1. **Zakharov V. E.** Kolmogorov spectra of turbulence. 1. Wave turbulence / V. E. Zakharov, G. Falkovitch, V. S. L'vov. Berlin: Springer-Verlag, 1992.
2. **Nazarenko S.** Wave turbulence. Berlin: Springer-Verlag, 2011.
3. **Захаров В. Е., Сагдеев Р. З.** О спектре акустической турбулентности // Докл. АН СССР. 1970. Т. 192, № 2. С. 297–300.
4. **Захаров В. Е., Филоненко Н. Н.** Слабая турбулентность капиллярных волн // ПМТФ. 1967. № 5. С. 62–67.
5. **Falcon E., Mordant N.** Experiments in surface gravity-capillary wave turbulence // Annual Rev. Fluid Mech. 2022. V. 54. P. 1–25.
6. **Falcon E.** Laboratory experiments on wave turbulence // Discrete Continuous Dynam. Systems. B. 2010. V. 13, N 4. P. 819–840.
7. **Kolmakov G. V., Brazhnikov M. Y., Levchenko A. A., et al.** Capillary turbulence on the surfaces of quantum fluids // Progr. Low Temperature Phys. 2009. V. 16. P. 305–349.
8. **Deike L., Fuster D., Berhanu M., Falcon E.** Direct numerical simulations of capillary wave turbulence // Phys. Rev. Lett. 2014. V. 112. 234501.
9. **Pushkarev A. N., Zakharov V. E.** Turbulence of capillary waves // Phys. Rev. Lett. 1996. V. 76. P. 3320–3323.
10. **Pan Y., Yue D. K. P.** Direct numerical investigation of turbulence of capillary waves // Phys. Rev. Lett. 2014. V. 113. 094501.
11. **Dyachenko A. I., Korotkevich A. O., Zakharov V. E.** Weak turbulent Kolmogorov spectrum for surface gravity waves // Phys. Rev. Lett. 2004. V. 92. 134501.
12. **Boyer F., Falcon E.** Wave turbulence on the surface of a ferrofluid in a magnetic field // Phys. Rev. Lett. 2008. V. 101. 244502.
13. **Dorbolo S., Falcon E.** Wave turbulence on the surface of a ferrofluid in a horizontal magnetic field // Phys. Rev. E. 2011. V. 83. 046303.
14. **Кочурин Е. А.** Формирование областей с высокими градиентами энергии и давления на свободной поверхности жидкого диэлектрика в тангенциальном электрическом поле // ПМТФ. 2018. Т. 59, № 1. С. 91–98.
15. **Kochurin E. A., Zubarev N. M.** Gravity-capillary waves on the free surface of a liquid dielectric in a tangential electric field // IEEE Trans. Dielectrics Electric. Insulat. 2018. V. 25, N 5. P. 1723–1730.
16. **Кочурин Е. А.** Волновая турбулентность поверхности жидкости во внешнем тангенциальном электрическом поле // Письма в ЖЭТФ. 2019. Т. 109, вып. 5. С. 306–311.
17. **Kochurin E. A.** Numerical simulation of the wave turbulence on the surface of a ferrofluid in a horizontal magnetic field // J. Magnetism Magnet. Materials. 2020. V. 503. 166607.
18. **Melcher J. R.** Electrohydrodynamic and magnetohydrodynamic surface waves and instabilities // Phys. Fluids. 1961. V. 4. 1348.
19. **Zubarev N. M.** Nonlinear waves on the surface of a dielectric liquid in a strong tangential electric field // Phys. Lett. A. 2004. V. 333. P. 284–288.
20. **Зубарев Н. М.** Нелинейные волны на поверхности диэлектрической жидкости в горизонтальном электрическом поле в 3D геометрии; точные решения // Письма в ЖЭТФ. 2009. Т. 89, вып. 6. С. 317–321.
21. **Зубарев Н. М., Кочурин Е. А.** Трехмерные нелинейные волны на границе раздела диэлектрических жидкостей во внешнем горизонтальном электрическом поле // ПМТФ. 2013. Т. 54, № 2. С. 52–58.

22. **Кочурин Е. А.** Формирование слабых особенностей на поверхности диэлектрической жидкости в тангенциальном электрическом поле // Письма в ЖТФ. 2019. Т. 45, вып. 3. С. 7–9.
23. **Kochurin E. A., Zubareva O. V., Zubarev N. M.** Wave breaking on the surface of a dielectric liquid in a horizontal electric field // IEEE Trans. Dielectrics Electric. Insulat. 2020. V. 27, N 4. P. 1222–1228.
24. **Kochurin E., Ricard G., Zubarev N., Falcon E.** Numerical simulation of collinear capillary-wave turbulence // Письма в ЖЭТФ. 2020. Т. 112, вып. 12. С. 799–800.
25. **Ricard G., Falcon E.** Experimental quasi-1D capillary-wave turbulence // Europhys. Lett. 2021. V. 135. 64001.
26. **Galtier S.** Turbulence in space plasmas and beyond // J. Phys. A: Math. Theor. 2018. V. 51. 293001.
27. **Galtier S., Nazarenko S., Newell A., Pouquet A.** A weak turbulence theory for incompressible magnetohydrodynamics // J. Plasma Phys. 2000. V. 63. P. 447–488.

*Поступила в редакцию 22/VII 2022 г.,
после доработки — 23/VIII 2022 г.
Принята к публикации 29/VIII 2022 г.*
